

## دراسة الخواص الريولوجية في الحالة المنصهرة لمزاج أساسها PLA/ABS وتعيين خواصها الميكانيكية

خاتون خليل الحمد<sup>1</sup> فواز أحمد الديري<sup>2</sup> بسلة أحمد ابراهيم<sup>3</sup>.

<sup>1</sup>طالبة دكتوراه، قسم الكيمياء، كلية العلوم، جامعة دمشق، دمشق، سوريا،  
[khatoon.alhamad@damascusuniversity.edu.sy](mailto:khatoon.alhamad@damascusuniversity.edu.sy)

<sup>2</sup>الاستاذ الدكتور المهندس فواز الديري، قسم الكيمياء، كلية العلوم، جامعة دمشق، ریولوجيا المواد البلاستيكية،  
[AL-Deri@damascusuniversity.edu.sy](mailto:AL-Deri@damascusuniversity.edu.sy).

<sup>3</sup>الاستاذة الدكتورة بسلة إبراهيم، قسم الكيمياء، كلية العلوم، جامعة دمشق، كيمياء السيليكون،  
[basela.Ibrahim@damascusuniversity.edu.sy](mailto:basela.Ibrahim@damascusuniversity.edu.sy).

### الملخص:

حضرت مزيج من PLA/ABS بنسبة (50/50) في الحالة المنصهرة باستخدام آلة البثق بلوبل وحيد، ودرست الخواص الريولوجيا تحت تأثير درجات الحرارة وإجهادات القص العالية، وذلك باستخدام مقاييس الزوجة ذي القالب الشعري، رُسمت تحولات إجهاد القص الظاهري بدلة سرعة القص الظاهرية عند درجات حرارة متعددة  $^0\text{C}$  (190, 200, 210, 220)، عُينت قيم دليل الجريان  $n$  للمزيج المدروس، وتبيّن لدينا من خلال الدراسة أن المزيج المدروس من فصيلة اللدائن الشبيهة بالبلاستيك ( $n < 1$ )، كما درست منحنيات باكلوي وذلك بدراسة تحولات الضغط  $P$  بدلة النسبة  $L/R$  وتم تحديد قيمة تصحيح باكلوي ( $e$ )، ومن خلال هذه المعطيات تم تعيين الزوجة الحقيقية  $\eta_0$ ، ووُجد أن الزوجة الحقيقية تخضع مع ارتفاع إجهاد القص ومعدلات سرعة القص الحقيقية العالية.

درست الخواص الميكانيكية للمزيج باستخدام جهاز الشد وتم تعيين كل من الإجهاد عند القطع والانفعال ومعامل يونغ، تبيّن أن الإجهاد عند القطع للمزيج يزداد مع ارتفاع نسبة ABS في المزيج، كما تبيّن أن معامل يونغ للمزيج يكون منخفض ثم يبدأ بالارتفاع بزيادة نسبة ABS.

تاريخ الإيداع: 2024/01/28  
تاريخ الموافقة: 2024/05/08



حقوق النشر: جامعة دمشق -  
سوريا، يحتفظ المؤلفون بحقوق  
النشر بموجب الترخيص  
CC BY-NC-SA 04

**الكلمات المفتاحية:** بوليمر PLA/ABS، خواص ریولوجية، خواص ميكانيكية.

# Studying the rheological properties in the molten state of blends based on PLA/ABS and determining their mechanical properties

**Khatoon Khalil Al-Hamad<sup>1</sup>, Fawaz Ahmad AL-Deri<sup>2</sup>  
Basila Ahmed Ibrahim<sup>3</sup>**

<sup>1</sup> PhD Student, Chemistry Department, Faculty of Science, Damascus University, Damascus, Syria, [khatoon.alhamad@damascusuniversity.edu.sy](mailto:khatoon.alhamad@damascusuniversity.edu.sy)

<sup>2</sup> Professor Dr, Chemistry Department, Faculty of Science, Damascus University, The rheology of plastics, [AL-Deri@damascusuniversity.edu.sy](mailto:AL-Deri@damascusuniversity.edu.sy).

<sup>3</sup> Professor Dr, Chemistry Department, Faculty of Science, Damascus University, Cellulose chemistry, [baseela.Ibrahim@damascusuniversity.edu.sy](mailto:baseela.Ibrahim@damascusuniversity.edu.sy).

## Abstract:

A blend of PLA/ABS in ratios of (10/90,50/50) was prepared in a molten state using a single-screw extruder machine. The rheological properties were studied under various temperatures and high shear stresses using a capillary rheometer, the apparent shear stress transformations were plotted against the apparent shear rate at different temperatures (190, 200, 210, 220)<sup>0</sup>C, the flow index values (n) for the studied blend were determined, indicating that the plastic blend (n<1) belongs to a similar family of plastics. The Baekle curves were studied by analyzing the pressure transformations (P) with respect to the relative L/R ratio and The Baekle correction value (e) was determined Using this data the true viscosity ( $\eta$ ) was estimated, showing that the true viscosity decreases with increasing shear stress and high true shear rate values.

The mechanical properties of the blend were evaluated using a tensile testing machine. and the stress at break, yield stress, and Young's modulus, were determined. It was observed that the stress at break increased with an increase in the proportion of ABS in the blend, while the Young's modulus initially decrease and then starts to increase with an increase in the ABS ratio.

Received :28/01/2024  
Accepted: 08/05/2024



Copyright: Damascus University- Syria, The authors retain the copyright under a CC BY- NC-SA

**Keywords:** polymer PLA/ABS, rheological properties, mechanical properties.

**المقدمة:**

أصبح علم المزاج البوليمرية أكثر أهمية في العقود الأخيرة ولاسيما في المجالات الصناعية والتجارية لأسباب عديدة منها اسباب اقتصادية حيث أن الحصول على بوليمرات جديدة أغلى بكثير من تطوير مزاج بوليمرية، حيث كانت عملية مزج البوليمرات القابلة للتحلل الحيوي مع البوليمرات الأخرى أحد الحلول المهمة للتخلص من النفايات البلاستيكية، حيث يساعد هذا النوع من المزج في الحصول على مادة قابلة للتحلل الحيوي وبتكلفة قليلة. فالخليط البوليمرى عبارة عن مزج اثنين أو أكثر من البوليمرات للحصول على مادة جديدة، إن الهدف من تحضير المزاج البوليمرية هو الحصول على صفات جديدة، لا يمكن إيجادها في البوليمرات المفردة، كما أن تحضير المزاج البوليمرية يعتمد على قابلية امتصاص البوليمرات للحصول على مواد بوليمرية تملك خصائص كيميائية وفيزيائية وميكانيكية جيدة Wnuczek et al., 2021 ; Freed., 2005;Grum et al., 1997).

في هذا العمل تم مزج كلاً من (PLA) ، (ABS) في الحالة الصلبة بنس比 مختلفة حيث يتراوح هذا العمل محاولة تحسين الخصائص الميكانيكية والريولوجية لـ PLA بواسطة مزجه مع الـ ABS مع المحافظة على صفة التحلل الحيوي التي يتميز بها الـ PLA ، وبولي حمض اللبن (PLA) هو بولي أستر قابل للتحلل الحيوي ومشتق من مصادر متعددة (النشاء و السكر) (Gu et al., 2018) ، بينما يتكون البوليمر الشاركي ABS من الأكريل نتريل والبوتاسيين والستيرين، حيث تساهم مشاركة هذه المواد مع بعضها في قوة التأثير والقوة الميكانيكية العالية التي تجعله بوليمر حراري وقاسي مناسب للمنتجات الاستهلاكية القاسية، يتم تصنيعه بمكابس الحقن وتشكيله على آلات البثق، يستخدم الـ ABS في الأدوات المنزلية وفي صناعة الأنابيب وفي صناعة الأدوات والتجهيزات مثل بطانات البرادات والتلفزيونات (Hamod., 2015)، يُظهر بلاستيك ABS مثانة ومرنة جيدة، بالإضافة إلى القوة الميكانيكية (Rutkowski et al., 1986).

ومن طرائق التشكيل المعروفة لبولي حمض اللبن القولبة بالحقن والبثق والتشكيل الحراري للحاويات والأكواب وبث الأفلام والألياف (Weber et al., 2002; Siebott., 2007) ولأن PLA يشتق من مصادر متعددة فهو قابل للتحلل الحيوي فإنه يعد المادة الواعدة في حل مشكلات التلوث البيئي المرتبطة باستخدام المواد البلاستيكية (Auras et al., 2004; Garlotta., 2001).

**المواد المستخدمة:**

-بوليمر بولي حمض اللبن (PLA) مستورد من شركة Bright China Industrial Company كثافته  $1.25 \text{ g/cm}^3$  ، معامل السيولة (MFI)= $12.5 \text{ g/10 min}(190\text{C}0/2.18\text{Kg})$ .

-بوليمر الأكريل نتريل\_بوتاسيين\_ستيرين (ABS) مستورد من شركة Kumho Petrochemical CO كثافته  $1.04 \text{ g/cm}^3$  ، معامل السيولة (MFI)= $50 \text{ g/10 min}(200\text{C}0/21.6\text{Kg})$ .

**طريقة تحضير المزج:**

تم تحضير مزيج من (PLA/PC) باستخدام آلة بثق بلوبل وحيد نموذج (SHAM EXTRUDER) (Hamad et al., 2011) وتم بث المزيج من خلال قالب معدني بطول 4 سم قطر 3 مم، حيث تتدفع المواد إلى آلة تحبيب ليصار إلى تحبيبها، وأجريت الدراسة على نسب وزنية للبوليمرات كما هو موضح بالجدول (1):

**الجدول(1): نسبة المكونات للمزج**

رمز العينة	Wt%	-	نسبة المزج
PLA/ ABS:10/90	10% PLA	-	90% ABS
PLA/ ABS:50/50	50% PLA	-	50% ABS

**شروط العمل:**

أجريت الدراسة بمخبر ريلوجيا المواد عند درجات الحرارة  $0^{\circ}\text{C}$  (190, 200, 210, 220) للمزاج (10/90,50/50, PLA/ABS) (Déri et al., 1989) (Davenport 3/80) وذلك باستعمال أربعة قوالب معدنية أبعادها موضحة بالجدول (2):

**الجدول (2): أبعاد القالب الشعري المستعمل**

ال قالب الشعري	1	2	3	4
طول القالب الشعري L (mm)	0.8	1.4	2.4	3.5
نصف قطر القالب الشعري R(mm)	0.1	0.1	0.1	0.1
L/R	8	14	24	35

تم تعيين غزارة تدفق المادة عبر القالب الشعري ( $Q$ ) والتي يحسب من خلالها معدل سرعة القص الظاهرية ( $\gamma_a$ ) وفق العلاقة الآتية (Hamad et al., 2011; Sinthavathavorn et al., 2008)

$$\gamma_a = \frac{4Q}{\pi R_c^3} \quad (1)$$

حيث أن:

$Q$ : غزارة التدفق الحجمية (cm<sup>3</sup>/sec).

$R_c$ : نصف قطر القالب الشعري (cm).

ومن خلال قيم الضغط عند حمولات مختلفة تم تعيين قيم إجهادات القص الظاهرية ( $\tau_a$ ) وفق العلاقة الآتية (Al-kaseem et al., 2010; Sheng Chen 2008)

$$\tau_a = \frac{P R_c}{2L} \quad (2)$$

حيث أن:

$P$ : الضغط الظاهري المطبق (dyne/cm<sup>2</sup>).

$R_c$ : نصف قطر القالب الشعري (cm).

$L$ : طول القالب الشعري (cm).

ويعلن معدل سرعة القص الحقيقية ( $\gamma_c$ ) من خلال إجراء تصحيح رابينوفيش (Rabinowistch correction) وفقاً للمعادلة الآتية (Sinthavathavorn et al., 2009):

$$\gamma_c = \frac{(3n+1)}{4n} \cdot \frac{4Q}{\pi R_c^3} \quad (3)$$

حيث أن:

$\gamma_a$ : معدل سرعة القص الظاهري (s<sup>-1</sup>).

$n$ : دليل الجريان ويعين من منحنيات الجريان وفق العلاقة

ولتعيين إجهاد القص الحقيقي ( $\tau_c$ ) تم إجراء تصحيحات باكلي باستخدام مجموعة من القوالب الشعرية متباينة القطر ومختلفة الأطوال وفقاً للمعادلة الآتية (Bagley 1957):

$$\tau_c = \frac{P_c}{2(\frac{L}{R_c} + e)} \quad (4)$$

حيث أن:

$\tau_c$ : إجهاد القص الحقيقي.

$P_c$ : الضغط الحقيقي داخل قناة القالب الشعري

$L$ : طول القالب الشعري.

$R_c$ : نصف قطر القالب الشعري.

$e$ : معامل تصحيح باكلبي ( $e \approx 13$ )

ومنه يتم تعيين الزوجة الحقيقة ( $\eta_c$ ) وفق العلاقة التالية:

$$\eta_c = \frac{\tau_c}{\gamma_c} \quad (5)$$

الخواص الميكانيكية:

تعرف الخواص الميكانيكية بأنها الخواص التي تتعلق بسلوك المادة عند تعريضها للأحمال المؤثرة (الأحمال статическая أو الديناميكية أو المتركرة)، وتستخدم كأساس للمقارنة بين المواد الهندسية المختلفة وغيرها من المواد.

وللأحمال статическая تأثير بطيء بالمقارنة مع الأحمال الديناميكية المتركرة، ولتوصيف البوليمرات وفق الخواص الميكانيكية المؤثرة هناك دلالات مميزة لهذا التوصيف نذكر منها الإجهاد والانفعال وحد المرونة.

تعبر دراسة التغير الحاصل في ابعاد البوليمر كدالة للإجهاد من الخصائص الميكانيكية المهمة لجميع البوليمرات فعند تسلیط جهد ما على نموذج العضة من البوليمر بسرعة ثابتة وقياس التشوه الحاصل في النموذج بدلالة التغير في الطول فيمكن الحصول على سلوك البوليمر تحت تأثير الإجهاد (Milisavljević et al., 2012; Kim et al 2005).

حيث أن الإجهاد المسلط على البوليمر هو القوة المطبقة على وحدة المساحة من السطح الذي تطبق عليه القوة وفق العلاقة:

$$\sigma = \frac{F}{A} \quad (6)$$

حيث أن  $F$ : القوة المطبقة على الغشاء (N)

A: مساحة مقطع نموذج العضة ( $cm^2$ )

ومن جهة أخرى يمكن تعيين نسبة الزيادة في طول نموذج الاختبار (العضة) قبل التمزق تحت تأثير الإجهاد الأصلي من العلاقة التالية:

$$\epsilon = \frac{L - L_0}{L_0} = \frac{\Delta L}{L_0} \quad (7)$$

والاستطالة المئوية تحسب من العلاقة:

$$\epsilon \% = \frac{L - L_0}{L_0} = \frac{\Delta L}{L_0} * 100 \quad (8)$$

ومما تقدم يمكن توصيف البوليمر من خلال معرفة معامل المرونة أو مايسمي بمعامل يونغ ويحسب من العلاقة التالية:

$$E = \frac{\sigma}{\epsilon} \quad (9)$$

تمت دراسة الخواص الميكانيكية للعينات بمركز البحث للعلوم التطبيقية والتكنولوجيا واستخدم لتشكيل عينات الشد مكبس يدوى للعينات المستطيلة وهو من تصنيع شركة CEAST الإيطالية، يؤمن المكبس إمكانية تسخين العينات أثناء الكبس من خلال وشيعتين كهربائيتين في طرفي المكبس كما هو مبين بالشكل (1):



الشكل (1): مكبس يدوى للعينات المستطيلة

أجريت اختبارات الشد للمزيج PLA/ABS باستخدام جهاز الاختبارات الميكانيكية والجهاز من إنتاج شركة JINAN طراز WDW-50، كما هو مبين بالشكل (2):



الشكل (2): جهاز الاختبارات الميكانيكية

وباستخدام جهاز قص عينات الشد والجهاز مصنع من قبل شركة CEAST كما هو مبين بالشكل (3) ويعمل على الهواء المضغوط تم قص العينات على شكل نموذج العظمة كما هو مبين بالشكل (4):



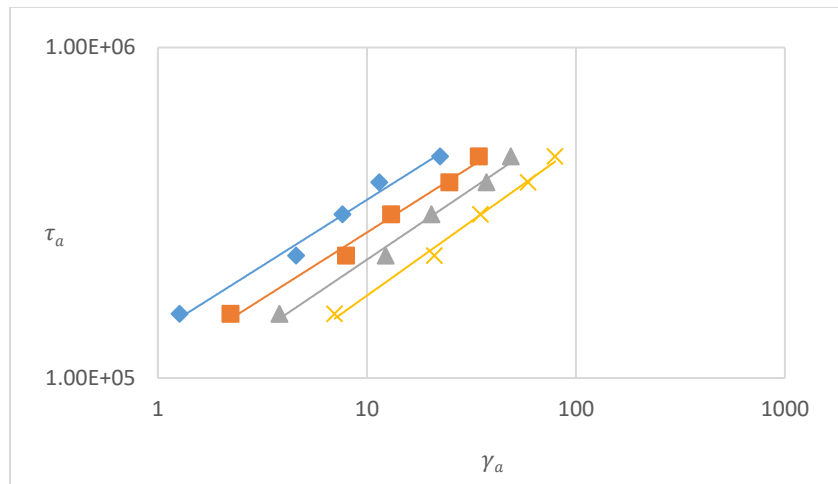
الشكل (3): جهاز القص



الشكل (4): العينات التي اجري عليها اختبارات الشد

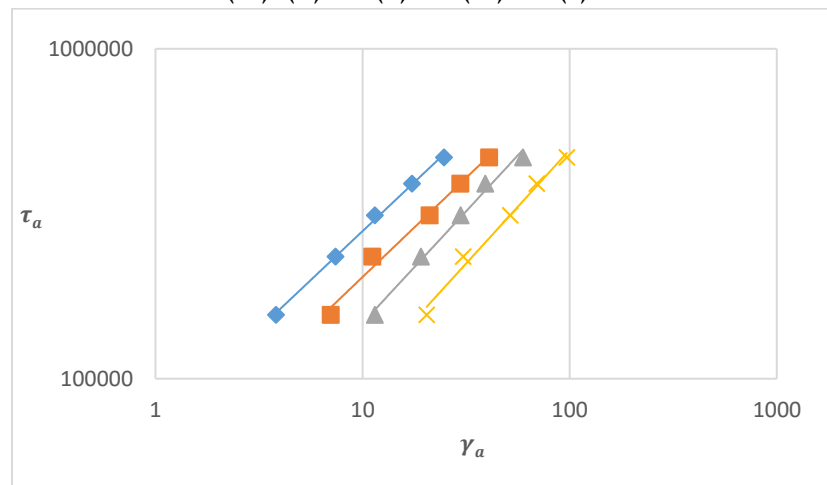
**النتائج والمناقشة:****تعيين منحنيات الجريان:**

وفق المعطيات التي تم الحصول عليها عُينت منحنيات الجريان للمزاج المدروسة، وذلك برسم تحولات إجهاد القص الظاهري ( $\tau_a$ ) بدلالة سرعة القص الظاهرية ( $\gamma_a$ ) عند درجات حرارة مختلفة وال قالب ( $L/R=8$ ).



الشكل(5) تحولات ( $\tau_a$ ) بدلالة ( $\gamma_a$ ) للمزيج (PLA/ABS (10/90))

$T(C^\circ)$  [(♦)190,(■)200,(▲)210,(x)220]



الشكل(6) تحولات ( $\tau_a$ ) بدلالة ( $\gamma_a$ ) للمزيج (PLA/ABS (50/50))

$T(C^\circ)$  [(♦)190,(■)200,(▲)210,(x)220]

تقيد هذه المنحنيات في تعيين دليل الجريان ( $n$ ) وفق العلاقة التالية:

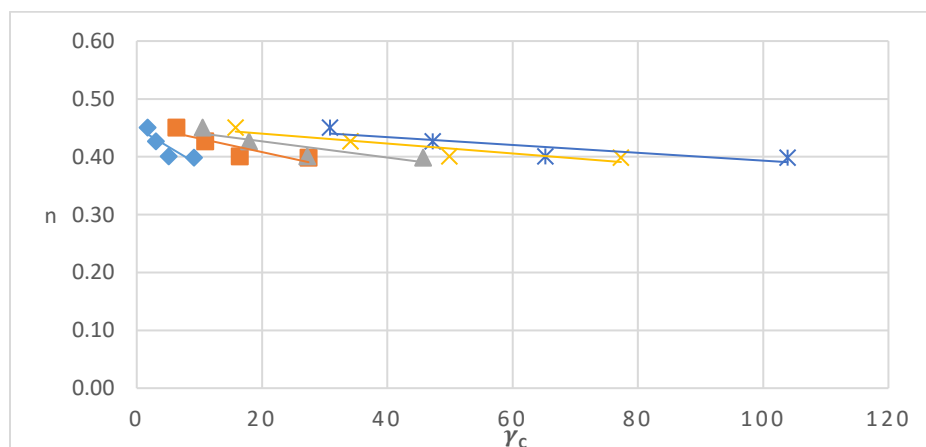
$$n = \frac{d \log \tau_a}{d \log \gamma_a} \quad (10)$$

ويبين الجدول (3) قيم دليل الجريان  $n$  للمزائج المدروسة:

الجدول (3) قيم دليل الجريان ( $n$ ) (المزائج المدروسة).

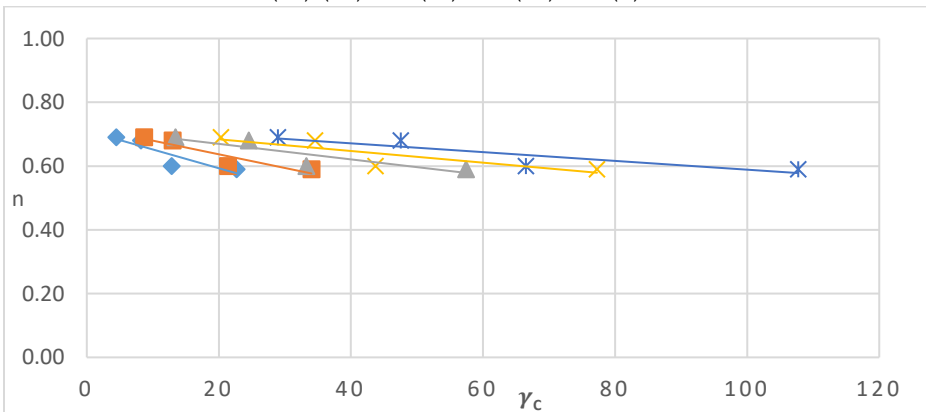
$n$	PLA/ABS	10/90	50/50
	190 C°	0.45	0.69
	200 C°	0.43	0.68
	210 C°	0.40	0.60
	220 C°	0.40	0.59

تبين ان دليل الجريان ( $n < 1$ )، وهو ما يثبت أن المزائج المدروسة تتبع في سلوكها الريولوجي إلى المواد الشبيهة بالبلاستيك، أي أن الزوجة تتضاعف بارتفاع معدل سرعة القص، نستنتج من قيم دليل الجريان  $n$  عند درجات مختلفة من الحرارة ولمزائج متنوعة أن هذه القيم تتأثر بشكل واضح بين درجة حرارة وأخرى وبين مزيج وأخر الأمر الذي يسهل علينا توصيف سلوكية كل مزيج، حيث تغير  $n$  في تصنيف سلوكية المواد والمزائج المدروسة وتعيين معدل سرعة القص الحقيقية، وتبيان الأشكال (7,8) تحولات  $n$  بدلالة معدل سرعة القص الحقيقية  $\gamma_c$ :



الشكل (7): تحولات قيم دليل الجريان  $n$  بدلالة سرعة القص الحقيقية  $\gamma_c$  للمزيج (7,8) PLA/ABS(10/90)

$T(^{\circ}C)[(\diamond)190, (\blacksquare)200, (\blacktriangle)210, (\times)220]$



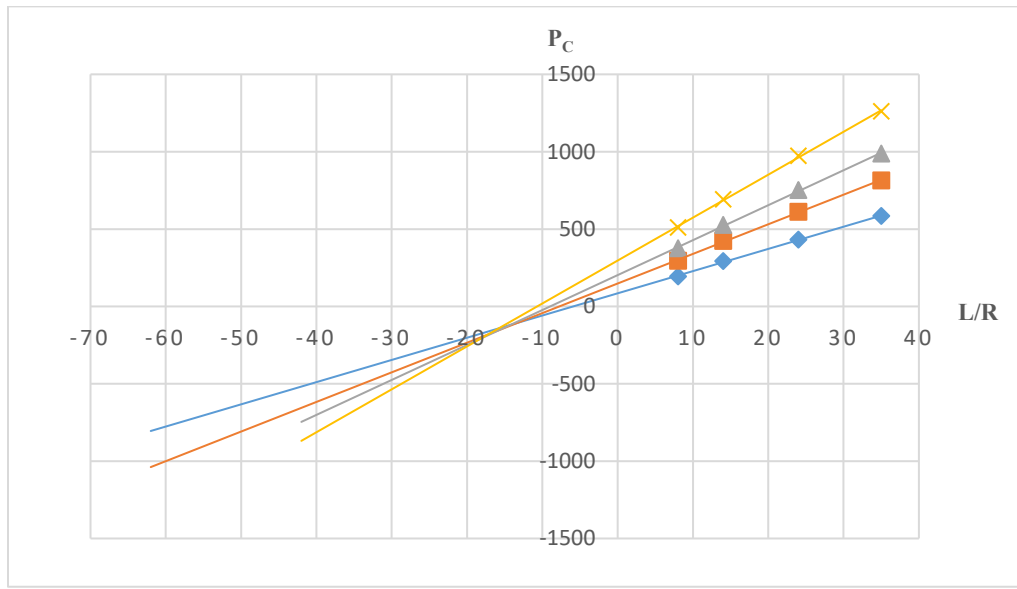
الشكل (8): تحولات قيم دليل الجريان  $n$  بدلالة سرعة القص الحقيقية  $\gamma_c$  للمزيج (7,8) PLA/ABS(50/50)

$T(^{\circ}C)[(\diamond)190, (\blacksquare)200, (\blacktriangle)210, (\times)220]$

يظهر كل من الشكلين (7,8) انخفاض قيم  $n$  بدلالة ارتفاع معدل سرعة القص، أي أن دليل الجريان يتماشى مع حساسية معدل سرعة القص عند ارتفاع درجات الحرارة.

**تصحيح المعطيات التجريبية:****تصحيح باكري:**

ووفقاً لطريقة باكري، تم تعيين معامل تصحيح باكري ( $\epsilon$ ) وذلك بأخذ سرعات قص معينة على منحنيات الجريان السابقة وتعيين قيمة الضغوط المقابلة لهذه السرعات عند القوالب المستخدمة وبالرسم البياني لتحولات هذه الضغوط بدلالة أبعاد القوالب المستخدمة  $L/R$  عند سرعات قص ثابتة نحصل على خطوط مستقيمة ومن تمديد هذه الخطوط نحصل على قيمة  $\epsilon$  وذلك عند الدرجة  $(200^{\circ}\text{C})$ . ومن ثم يتم تعيين إجهاد القص الحقيقي وفق العلاقة (4) وعلى سبيل المثال يوضح الشكل (9) تحولات  $P_c$  بدلالة  $L/R$  عند درجة الحرارة  $(200^{\circ}\text{C})$  للمزيج  $(50/50)$  لـPLA/ABS.



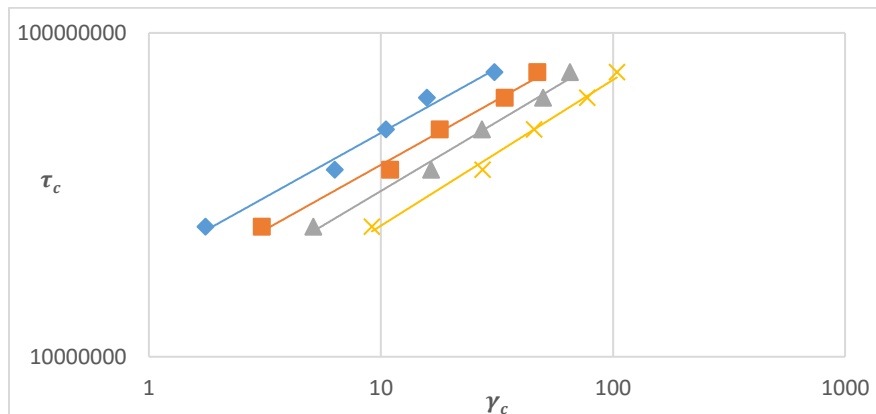
الشكل(9) مستقيمات باكري تحولات ( $P_c$ ) بدلالة ( $L/R$ ) للمزيج (50/50)  
 $\gamma_a(\text{sec}^{-1})$  [(◆)10, (■)50, (▲)100, (x)150]

**تصحيح رابينوفيتشر ومعدل سرعة القص الحقيقية ( $\gamma_c$ ):**

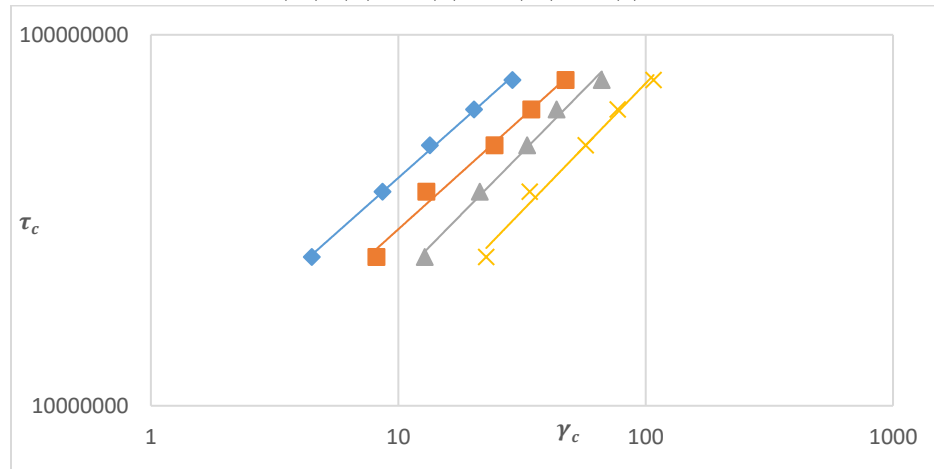
يتم تصحيح سرعة القص الحقيقة وفق العلاقة الآتية:

$$\gamma_c = \frac{(3n+1)}{4n} \cdot \gamma_a \quad (11)$$

ومن خلال التصحيحات السابقة تم رسم تحولات إجهاد القص الحقيقي بدلالة معدل سرعة القص الحقيقة عند درجات الحرارة المطبقة، وتنقذ هذه الأشكال في تحديد سلوك الجريان للمزيج المدروس كما في الشكلين (10) و(11):



الشكل(10) تحولات  $(\tau_c)$  بدلالة  $(\gamma_c)$  للمزيج (10/90) PLA/ABS  
 $T(C^\circ)$  [(♦)190,(■)200,(▲)210,(x)220]

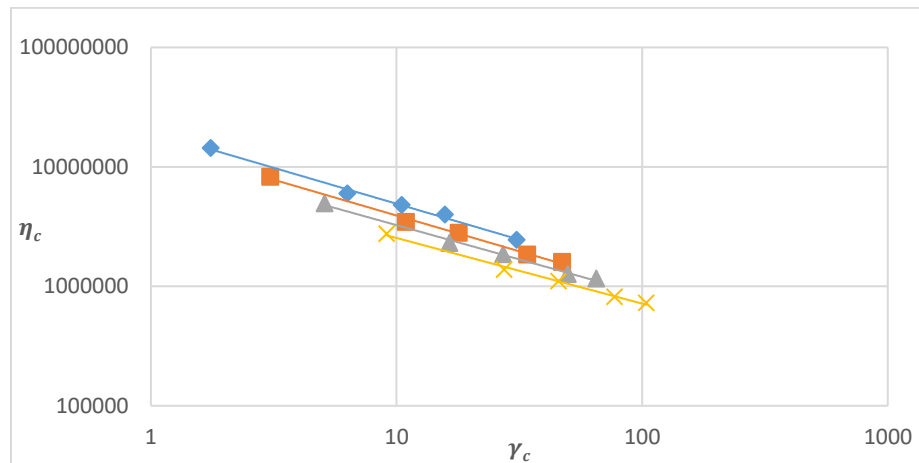


الشكل(11) تحولات  $(\tau_c)$  بدلالة  $(\gamma_c)$  للمزيج (50/50) PLA/ABS  
 $T(C^\circ)$  [(♦)190,(■)200,(▲)210,(x)220]

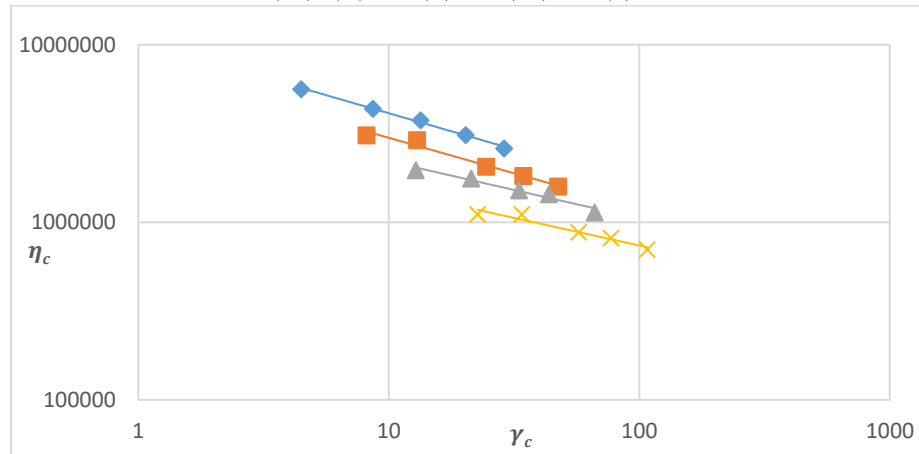
بعد أن تم حساب كلاً من إجهاد القص الحقيقي ومعدل سرعة القص الحقيقية أصبح بالإمكان تعين الزوجة الحقيقية  $\eta_c$  وفقاً للعلاقة التالية:

$$\eta_c = \frac{\tau_c}{\gamma_c} \quad (12)$$

ويبيّن كل من الشكلين (12) و(13) تحولات الزوجة الحقيقية  $\eta_c$  بدلالة سرعة القص الحقيقية  $\gamma_c$ :



الشكل (12) تحولات ( $\eta_c$ ) بدلالة ( $\gamma_c$ ) للمزج (PLA/ABS (10/90)) للمزج (T(C°)) [(♦)190,(■)200,(▲)210,(x)220]

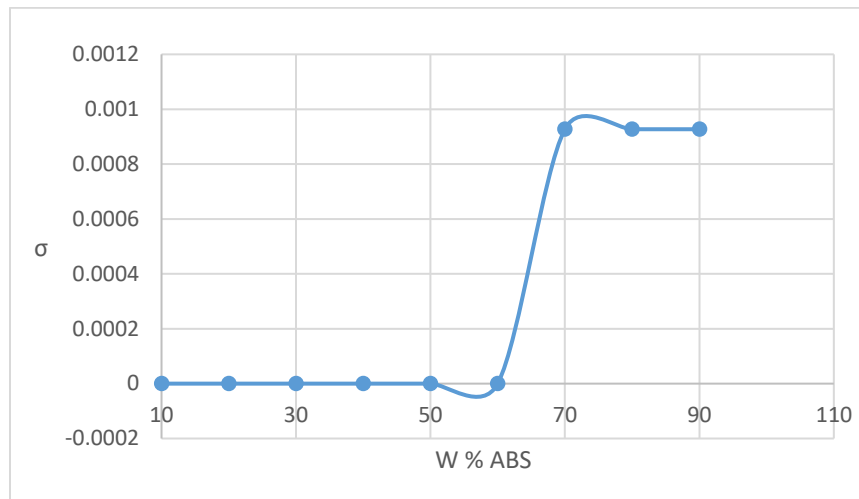


الشكل (13) تحولات ( $\eta_c$ ) بدلالة ( $\gamma_c$ ) للمزج (PLA/ABS (50/50)) للمزج (T(C°)) [(♦)190,(■)200,(▲)210,(x)220]

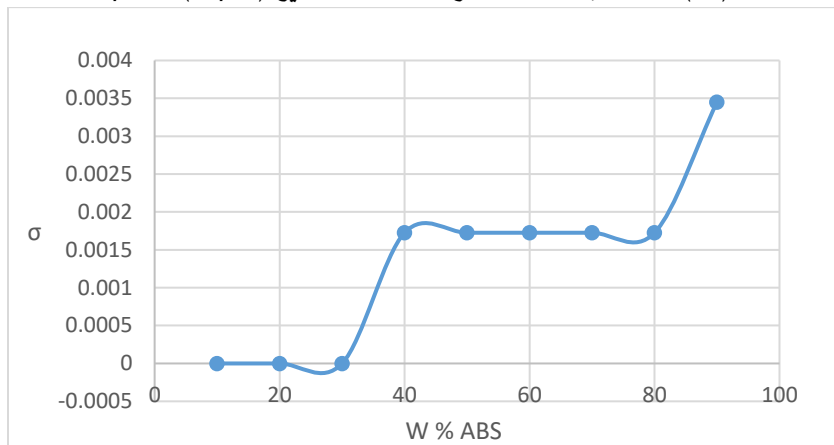
يظهر كل من الشكلين (12) و(13) إن الزوجة الحقيقة ( $\eta_c$ ) تختفي مع ارتفاع سرعة القص الحقيقة  $\gamma_c$  للمزاج المدروسة عند جميع درجات الحرارة، وهذا ما يميز سلوك المواد الشبيهة بالبلاستيك، فعند ارتفاع معدل سرعة القص تتنظم السلاسل باتجاه الإجهاد المطبق محاولةً لاقترابه من بعضها البعض يتافق بانخفاض الزوجة مقدمة اختيارياً عملياً في اختيار عملية التشكيل المناسبة للبوليمر إما بالبثق أو الحقن.

### الخواص الميكانيكية:

أجريت اختبارات الشد للمزج PLA/ABS بالنسبة (50/50, 10/90) باستخدام نموذج العزم، وتعيين كل من الإجهاد والانفعال ومعامل يونغ، وبين كل من الشكلين (14, 15) تحولات الإجهاد عند القطع بدلالة تركيب المزج (PLA/ABS)، فالمزج تم عند درجة الحرارة  $250^{\circ}\text{C}$  في حين تم اختبار الشد عند درجة حرارة المخبر  $25^{\circ}\text{C}$ .



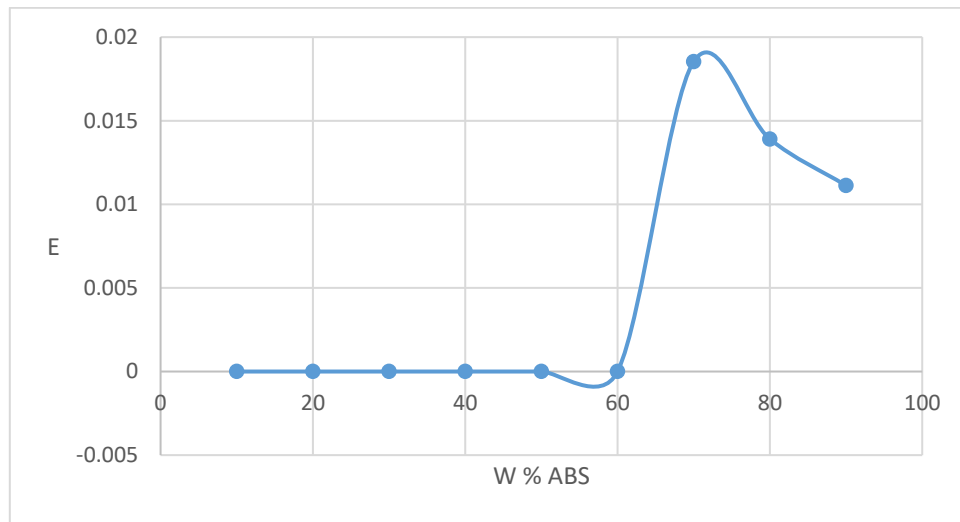
الشكل (14) تحولات الإجهاد عند القطع بدلالة تركيب المزيج (10/90) PLA/ABS



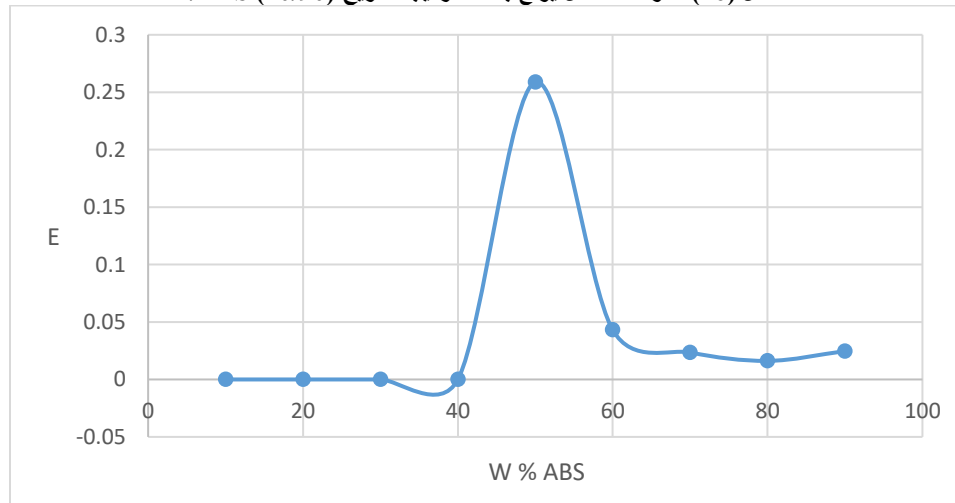
الشكل (15) تحولات الإجهاد عند القطع بدلالة تركيب المزيج (50/50) PLA/ABS

يظهر كل من الشكلين (14,15) أن الإجهاد عند القطع للمزيج يزداد مع ارتفاع نسبة ABS في المزيج، أي أن الإجهاد عند القطع في هذا المزيج كان منخفض في البداية ثم عاد للارتفاع، ونلاحظ أيضاً أن أعلى نسبة للإجهاد عند القطع في الشكل (14) كانت (0.0009) في حين الشكل (15) كانت أعلى قيمة للإجهاد عند القطع (0.0035).

ويبيّن كل من الشكلين (16,17) تحولات معامل يونغ بدلالة تركيب المزيج (PLA/ABS) :

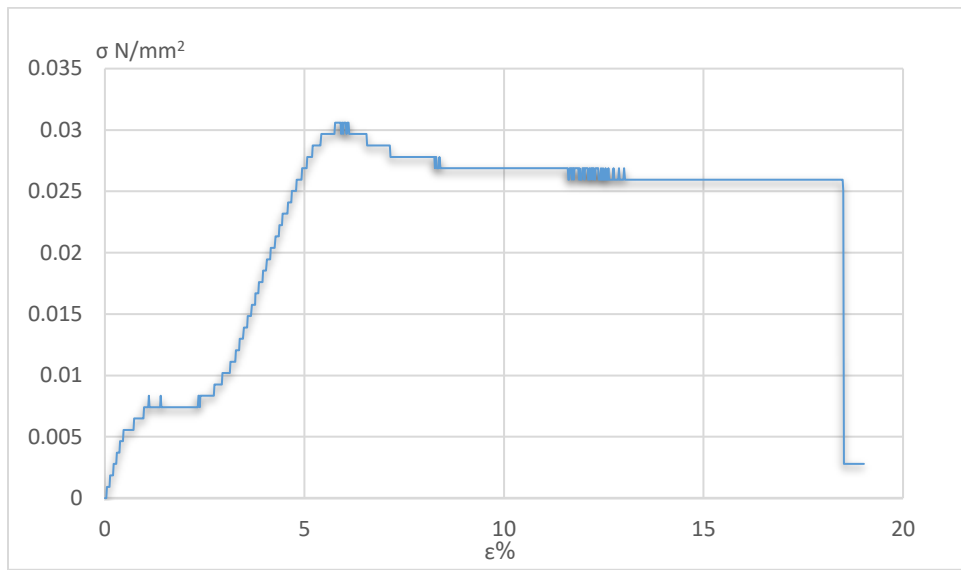


الشكل (16) تحولات معامل يونغ بدلالة تركيب المزيج (10/90) PLA/ABS

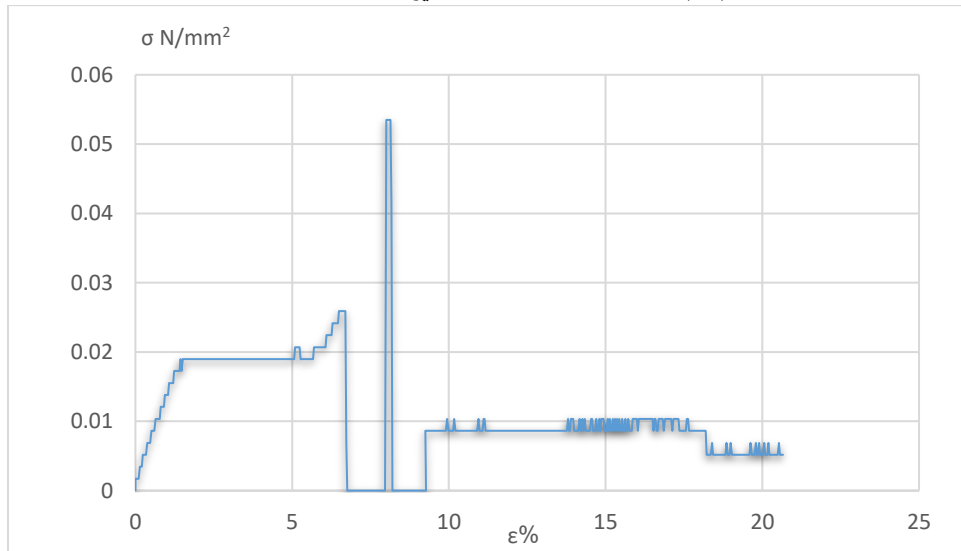


الشكل (17) تحولات معامل يونغ بدلالة تركيب المزيج (50/50) PLA/ABS

يظهر كل من الشكلين (16,17) أن معامل يونغ للمزيج يكون منخفض ثم يبدأ بالارتفاع مع زيادة نسبة ABS. سنقوم برسم المنحني الإجهاد \_ الانفعال للمزيج :PLA/ABS



الشكل (18): تحولات اجهاد \_ انفعال للمزيج (10/90)



الشكل (19): تحولات اجهاد \_ انفعال للمزيج (50/50)

وتقيد هذه المنحنيات باعطاء معلومات مفيدة عن الخصائص المتعلقة بقوه ومرone ومتانه البولимер وأقصى جهد يتحمله البولимер وأقصى استطالة تحدث في النموذج كما هو مبين بالشكل فإن الجزء المستقيم من المنحني يعبر عن مرone البولимер وهو النسبة بين الاجهاد والاستطالة، وعند ازالة الاجهاد تسترجع أبعادها الاصلية لأن الطاقة المتصروفة تكون مخزونة بشكل طاقة مرنة وبعد هذه الطاقة إما يتمزق النموذج وبهذه الحالة يكون البولимер هشاً أو يوهن عند نقطة معينة في النموذج.

وأعلى جهد يتحمله النموذج قبل أن يوهن يدعى قوة الشد، وتمثل نقطة الوهن نهاية السلوك المرن في البولимер وبعدها تكون التغيرات في البولимер غير عكوسه أي لا يمكنها استرجاع شكلها السابق وتبقى مشوهه لأن الطاقة المتصروفة هنا تستهلك في فك التشابك الفيزيائي بين سلاسل البولимер، وبعدها نصل إلى مرحلة تمزق النموذج. حيث كانت أعلى قوة شد يتحملها المزيج (PLA/ABS) بنسبة (10/90) هي (F<sub>max</sub>=0.33 kN) ونقطة الوهن تساوي ( $\sigma_{max}=30.593$  N/mm<sup>2</sup>)، بينما تكون أعلى قوة شد في المزيج (PLA/ABS) بنسبة (50/50) هي (F<sub>max</sub>=0.15 kN) ونقطة الوهن تساوي ( $\sigma_{max}=25.882$  N/mm<sup>2</sup>).

**الاستنتاجات:**

- ❖ درست الخواص الريولوجية للمزيج المحضر في الحالة المنصهرة تحت تأثير درجات الحرارة وإجهادات القص العالية. وتبين لدينا أن هذه المزيج ينتمي إلى المواد الشبيهة بالبلاستيك.
- ❖ الزوجة الحقيقة تتحفظ مع ارتفاع إجهاد القص ومعدلات سرعة القص العالية.
- ❖ عُينت قيم دليل الجريان  $n$  للمزيج المدروس، وتبين لدينا من خلال الدراسة أن المزيج المدروس من فصيلة اللائن الشبيهة بالبلاستيك ( $n < 1$ ).
- ❖ تتحفظ قيمة دليل الجريان  $n$  مع ارتفاع معدل سرعة القص.
- ❖ يزداد الإجهاد عند القطع بزيادة نسبة ABS في المزيج.
- ❖ ينخفض معامل يونغ بزيادة نسبة ABS في المزيج.
- ❖ كانت أعلى قوة شد يتحملها المزيج (PLA/ABS) بنسبة (10/90) هي ( $F_{max} = 0.33 \text{ kN}$ ) ونقطة الوهن تساوي ( $\sigma_{max} = 30.593$ )، بينما تكون أعلى قوة شد في المزيج (PLA/ABS) بنسبة (50/50) هي ( $F_{max} = 0.15 \text{ kN}$ ) ونقطة الوهن تساوي ( $\sigma_{max} = 25.882$ ).
- ❖ أفضل مزيج من الناحية الميكانيكية هو المزيج (10/90) PLA/ABS حيث أن ABS يتمتع بقوة شد أفضل من PLA.

**المراجع:**

1. Wnuczek, K., Puszka, A., Kłapiszewski, Ł., & Podkościelna, B. (2021). Preparation, Thermal, and Thermo-Mechanical Characterization of Polymeric Blends Based on Di (meth) acrylate Monomers. *Polymers*, 13(6), 878.
2. Freed, K. F.(2005) Phase Behavior of Polymer Blend, Springer-Verilog Berlin Heidelberg. 183 ,1.
3. Grum, O. Buckie, P and Buek, B.(1997) Principles of Polymer Engineering. 2<sup>nd</sup> Edition, Oxford.
4. Gu, L., Nessim, E. E., Li, T., & Macosko, C. W. (2018). Toughening poly (lactic acid) with poly (ethylene oxide)-poly (propylene oxide)-poly (ethylene oxide) triblock copolymers. *Polymer*, 156, 261-269.
5. Weber CJ., Haugaard V., Festersen R., Bertelsen G. (2002). Production and applications of biobased packaging materials for the food industry. *Food Addit Contam* 19:172–177.
6. Siebott., V. (2007). PLA—the future of rigid packaging. *Bioplastics Mag* 2:28–9.
7. Auras R., Harte B., Selke S. (2004). An overview of polylactides as packaging materials. *Macromol Biosci* 4:835–864.
8. Garlotta D., (2001). A literature review of poly(lactic acid). *J Polym Environ* 9:63–84.
9. Hamod, H. (2015). Suitability of recycled HDPE for 3D printing filament.
10. Rutkowski, J. V., & Levin, B. C. (1986). Acrylonitrile–butadiene–styrene copolymers (ABS): Pyrolysis and combustion products and their toxicity—a review of the literature. *Fire and materials*, 10(3-4), 93-105.
11. Hamad, K., Kaseem, M., & Deri, F. (2011). Rheological and mechanical characterization of poly(lactic acid)/polypropylene polymer blends. *Asia-Pacific Journal of ORIGINAL PAPER, J Polym Res* 18, 1799-1806.
12. Déri, F., Aldeyab, S., & Majid, B. (1989).Correlation Pratique et Mathématique de l'Énergie d Activation de l' Écoulement pour le Polyéthylène Basse-Densité, Polyéthylène Haute-Densité, Polystyrène et d'Autres Polyoléfines. *Die Angewandte Makromolekulare Chemie* (173) 1-13 (Nr. 2581).
13. Sinthavathavorn W., Nithitanakul M., et al.( 2008). Melt Rheology of Low-Density Polyethylene/Polyamide 6 using Ionomer as a Compatibilizer, *Polymer Bulletin*, pp 331-340.
14. Sheng Chen C (2008). Rheological behaviour of low/high density polyethylene melt flowing through micro-channels. *e-Polymers*.
15. Al-Kaseem M., Hamad K., Deri F (2010). Rheological and mechanical properties of poly (Lactic Acid)/Polystyrene polymer blend. *Polymer Bulletin*, Vol.65, pp 509-519.
16. Sinthavathavorn W., Nithitanakul M., et al ( 2009). Melt rheology and die swell of PA6/LDPE blends by using lithium ionomer as a compatibilizer, *Polymer Bulletin*, pp 23-35.
17. Bagley, E. B (1957). End corrections in the capillary Flow. Of polyethylene, *J. Appl. Phys.*, V. 28, p. 624-627.
18. Milisavljević , J., Petrović, E., Ćirić, I., Mančić, M., Marković, D., Dordević, M., 2012, Tensile Testing For Different Types Of Polymer, Danubia-Adria Symposium, University Of Belgrade, Serbia.
19. Kim, M., Lee, S., Kang, J., and Bae, K., 2005, Preparations Of Polypropylene Membrane With High Porosity In Supercritical CO<sub>2</sub> and Its Application For Pemfc, *j. ind. Eng. Chem.*, vol.11,no. 2,187-193.